

استخدام عناصر التربيط الممنوعة من التخفيض في تحسين السلوك الديناميكي للإطارات المعدنية متوسطة الارتفاع

زينب عزيز لوحو^{1*} ريم سلمان الصحناوي²

¹. طالبة ماجستير، مهندسة، قسم الهندسة الإنشائية الزلزالية، المعهد العالي للبحوث والدراسات الزلزالية، جامعة دمشق. zeinab.loho@damascusuniversity.edu.sy

². مدرسة، دكتورة، مهندسة، قسم الهندسة الإنشائية الزلزالية، المعهد العالي للبحوث والدراسات الزلزالية، جامعة دمشق. reem1.salmansalman@damascusuniversity.edu.sy

الملخص:

استخدمت عدة طرق لرفع كفاءة الإطارات المعدنية زلزاليًا وتعزز عناصر التربيط الممنوعة من التخفيض (BRBs) من أهم وأحدث الطرق لرفع كفاءة هذه الإطارات زلزاليًا. ونظرًا للاستخدام الواسع لعناصر التربيط الممنوعة من التخفيض وأهميتها في مقاومة القوى الجانبية، جاءت أهمية البحث في دراسة تأثير تزويد الإطارات المعدنية بمثل هذه العناصر في سبيل تحسين الاستجابة الزلزالية لها.

تم في هذا البحث القيام بدراسة تحليلية بالاستعانة ببرنامج ABAQUS19 (ABAQUS19) للتحري عن السلوك الديناميكي لعنصر التربيط الممنوع من التخفيض. ومن ثم تمت دراسة السلوك الديناميكي لإطار معدني متعدد الطوابق مزود لا مركزياً بعنصر تربيط ممنوعة من التخفيض تحت تأثير عدة هزات أرضية. وبهدف تحسين السلوك الديناميكي تم تغيير عدة بارامترات كارتفاع الإطار، تغيير مكان وجود عنصر التربيط. تم تقييم الاستجابة للإطار المعدني من خلال مقارنة التسارعات والإزاحات الطابقية وقوى القص القاعدية وكمية الطاقة المبددة. أظهرت النتائج فعالية استخدام عناصر التربيط الممنوعة من التخفيض في الإطارات المعدنية متوسطة الارتفاع، حيث نقصت التسارعات والإزاحات الطابقية وقوى القص القاعدية بينما زادت كمية الطاقة المبددة.

الكلمات المفتاحية: عنصر تربيط ممنوع من التخفيض، إطار مزود لا مركزياً بعنصر تربيط ممنوع من التخفيض، ارتفاع الإطار، مكان وجود عنصر التربيط، الطاقة المبددة.

تاريخ الإيداع: 2023/12/5

تاريخ القبول: 2024/2/20



حقوق النشر: جامعة دمشق -
سوريا، يحتفظ المؤلفون بحقوق
النشر بموجب CC BY-NC-SA

Using buckling restrained braces to improve the dynamic behavior of steel frames medium- height

Zeinab Aziz LOHO^{*1} Reem Salman ALSEHNAWI²

^{*1}. Master Student in Department of Seismic Structural Engineering, Higher Institute of Earthquake Studies & Research, University of Damascus, Damascus, Syria. zeinab.loho@damascusuniversity.edu.sy

². Assistant Professor in Department of Seismic Structural Engineering, Higher Institute of Earthquake Studies & Research, University of Damascus, Syria.

reem1.salman@damascusuniversity.edu.sy

Abstract:

The use of buckling restrained braces (BRBs) has significantly enhanced the seismic efficiency of steel frames, a recent and significant technique in the construction Industry. The study emphasizes the widespread adoption of buckling restrained braces and their role in resisting lateral stresses by examining their abilities to modify the seismic response of steel frames. The dynamic behavior of these braces is analyzed by the study using (Abaqus 19 software). The study examined the dynamic behavior of a multi - story steel frame with eccentric buckling restrained braces (BRBFES) under earthquake motions. Parameters like BRB location and frame height were adjusted to improve dynamic behavior. The response was evaluated by comparing acceleration, story drifts, base shear forces and dissipated energy. The outcomes demonstrated the efficiency of buckling restrained braces in medium - height steel frames, where the dissipated energy was raised and the acceleration, the story "drifts, and base shear forces were reduced.

Key words: BRB, BRBFE, Frame height, BRB position, dissipated energy.

Received: 5 /12/2023

Accepted: 20 /2/2024



Copyright: Damascus University- Syria, The authors retain the copyright under a CC BY- NC-SA

استخدام عناصر التربيط الممنوعة من التحنّب في تحسين لوحو، الصناعي

المقدمة:

النتائج أهمية التربيط الجانبي الممنوع من التحنّب في تحسين السلوك الزلالي للإطارات المعدنية وفي زيادة مقاومتها وتحفيض انقلالها وفعاليتها الكبيرة في تحفيض الاستجابة للإجهادات الناظمية، وبالتالي حماية المنشآت المعدنية المزرودة بهذه العناصر من الانهيار الكلي عند تعرضها للحملات الزلالية.

قدم (Bahrami et al., 2020) دراسة تجريبية وتحليلية وعددية لعنصر التربيط الممنوع من التحنّب (BRB)، ومن ثم تصميم إطار مزود بعنصر التربيط الممنوع من التحنّب (BRBF) وتحليله ديناميكياً تحت ثلاثة سجلات زلالية أساسية. تم التوصل في هذه الدراسة إلى استجابة هيكلية أفضل بحالة عناصر التربيط الممنوعة من التحنّب (BRBF) مقارنةً بعناصر التربيط التقليدية (EBF)، وذلك بحالة قوى القص القاعدي وتبييد الطاقة وفي معظم حالات الإزاحة الجانبية دورانات روابط القص، وبالتالي فإن إطار (BRBF)

يكون خيار فعال عملياً لمقاومة القوى الجانبية الكبيرة.

كما قام (Shete et al., 2022) بإجراء دراسة تحليلية وعددية لعنصر تربيط ممنوع من التحنّب وللحصول على صحة النموذج تم المقارنة مع نموذج تجريبي، ومن ثم تم إجراء دراسة بارامترية بتغيير طول النواة ضمن مجال يتراوح من (3-1 m) وتغيير معامل الاحتكاك من (0-1). حيث لوحظ أنه مع زيادة معامل الاحتكاك بين النواة الفولاذية والبيتون كانت الاستجابة الهستيرية غير متاظرة مع انخفاض في تبييد الطاقة. كما وجد أن الصلابة المحورية تزداد بنقصان الطول المتلدن من النواة الفولاذية. كما تبين أن طول النواة المتلدن والاحتكاك يؤثران على الاستجابة الدورية لـ (BRB).

قام (Ostovar et al., 2023) بإجراء دراسة تحليلية وتجريبية لتقدير أداء عنصر التربيط الممنوع من التحنّب باستخدام بيتوون فائق الأداء (UHPFRC) ومكونات مطاطية عالية المرونة بين النواة الفولاذية والبيتون. وتم دراسة السلوك الهيستيري للعنصر تحت تأثير الأحمال الدورية. أظهرت نتائج

تناولت العديد من الدراسات التجريبية والتحليلية أثر ومتى إضافة عناصر التربيط الممنوعة من التحنّب (BRBs) إلى الإطارات المعدنية من حيث زيادة مقاومة وقساوة هذه الإطارات عند تعرضها لحملات زلالية أو دورية، حيث أن معظم المنشآت المعدنية المزرودة بعناصر تربيط تقليدية قد انهارت بشكل كامل بسبب التدهور الكبير في القساوة والمقاومة. نظراً لذلك اتجهت الأبحاث إلى تزويد الإطارات المعدنية بعناصر التربيط الممنوعة من التحنّب (BRBs) في سبيل تحقيق الاستجابة المرجوة، والتي أثبتت فعاليتها في تحسين الاستجابة الزلالية. تتألف عناصر التربيط الممنوعة من التحنّب (BRBs) من نواة فولاذية وغلاف بيتووني يوجد بينهما مادة مانعة للالتصاق وفي المحيط يوجد غلاف فولاذي يحيط بالغلاف البيتووني، حيث يتميز هذا المحمد بمقاومته المتميزة والمتماثلة على الشد والضغط، بالإضافة إلى كلفته الاقتصادية المنخفضة، وقدره الكبيرة على تخميد الطاقة.

قدم (Lin et al., 2012) بحثاً تجريبياً استعرض فيه عنصر التربيط الممنوع من التحنّب وتم عرض مجموعة من التحديثات لهذا العنصر في تايوان. احتوت هذه التحديثات على أبحاث وتحريات عن المادة المانعة للالتصاق (unbonding material) ونمذجة إطار مزود بهذا العنصر نمذجة دقيقة. أثبتت النتائج أن عيوب (BRB) يمكن تجنبها إذا تم تصميم طبقة التغطية بشكل جيد، وبخصوص التصميم الزلالي فإن الإطار المزود بعنصر التربيط الممنوع من التحنّب BRBF أعطى سلوكاً مستقرًا في الحلقات الهيستيرية لجميع مكونات الإطار.

قامت (الملاح، 2020) بدراسة تحليلية للتحري عن السلوك الديناميكي لعنصر التربيط الممنوع من التحنّب (BRB) المزود بوصلات اتصال مختلفة تحت تأثير الأحمال الدورية. هدفت الدراسة إلى إضافة عنصر التربيط (BRB) إلى الإطارات المعدنية تحت تأثير أحمال زلالية، حيث أظهرت

.....

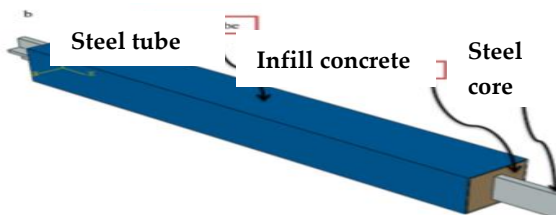
- ارتفاع الإطار المزود لامرکزیاً بعناصر تربیط منوعة من التحنيب (BRBFE) ومقارنتها مع إطار مزود لامرکزیاً بعناصر تربیط تقليدية (EBF).

سيتم في هذا البحث دراسة السلوك الديناميكي لعنصر التربیط الممنوع من التحنيب تحت تأثیر حمل دوري باستخدام برنامج (ABAQUS19)، ومن ثم إضافته لإطار معدني مستوي مقاوم للعزم متعدد الطوابق وإجراء الدراسة البارامترية تحت تأثیر ثلاث هزات زلزالية.

2-معايير عنصر الترتيب الممنوع من التحذيف:

١-٢- توصيف المحمد المدروس:

تم في هذا البحث إجراء دراسة تحليلية لعنصر BRB الذي اختبر من قبل (Bahrami et al., 2020) اعتمد هذا المخمد في المعايرة ومن ثم تم إضافته لإطار معدني مستوي مقاوم للعزوم، وإجراء الدراسة البارامترية للحصول على السلوك الأفضل. يبين الشكل (1) أقسام المحمد المدروس، حيث الطول والمساحة العرضية للنواة الفولاذية 100cm ، 6.4cm^2 على التوالي.



الشكل (1) العينة المدروسة [10]

2-2-المواد المستخدمة في الدراسة:

يبين الجدول (1) خصائص المواد المستخدمة، حيث استخدمت خصائص المواد ذاتها في الدراسة المرجعية (Bahrami et al., 2020) تمأخذ سلوك الفولاذ من تقسية تشوهية كما تم نمذجة البeton كمادة مرنة.

استخدام عناصر الترتيب الممنوعة من التحنيب في تحسين
التحليل تحسيناً ملحوظاً في سعة التحميل وتبديد الطاقة
لعنصر RBRB مقارنةً بعنصر BRB التقليدي.

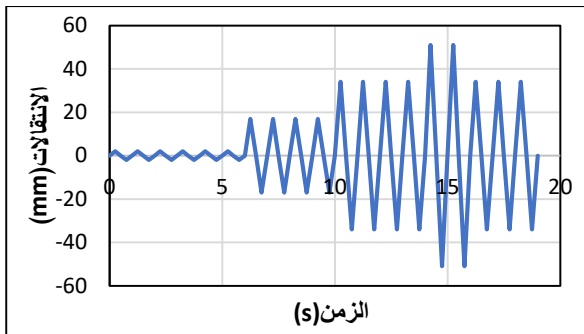
سيتم في هذا البحث القيام بدراسة تحليلية لعنصر التربيط الممنوع من التحنيب ومن ثم إضافته لا مركزياً لإطار معدني مقاوم للعزم تحت تأثير عدة هزات زلالية وإجراء الدراسة البارامتيرية.

١- أهمية وهدف البحث:

أظهرت الدراسات والأبحاث السابقة مقدار التدهور الكبير في القساوة والمقاومة الذي تعاني منه عناصر التربيط التقليدية نتيجة التحنيب المبكر عند الضغط، بالإضافة إلى محدودية المطاوعة والقدرة على تبديد الطاقة التشوهدية لعنصر التربيط التقليدي، وبالتالي ظهرت الحاجة إلى استبدال هذه العناصر بعد تعرض المنشآت المزودة بها للحمولاتزلالية. كما أغفلت كافة الدراسات السابقة أثر استخدام التربيط على شكل حرف (v) مقلوبة في إطار متعدد الطوابق بالإضافة لتغيير مكان وجوده ضمن الإطار. نظراً للاستخدام الواسع لعناصر التربيط الممنوعة من التحنيب في رفع كفاءة المنشآت الواقعة في مناطق نشطة زلزالية، وأهميتها في مقاومةقوى الجاذبية. جاءت أهمية البحث في دراسة تأثير تزويد الإطارات المعدنية متوسطة الارتفاع بعناصر التربيط الممنوعة من التحنيب ودراسة الموقع الأفضل لموضعها ضمن الإطار في سبيل تحسين الاستجابة الزلزالية لها.

يهدف البحث إلى تقييم الاستجابة الزلزالية للإطارات المعدنية
المستوية المزودة لا مركزياً بعناصر تربيط متنوعة من
التحبيب من خلال:

- دراسة سلوك عنصر التربيط الممنوع من التحنيب(BRB) تحت تأثير حمل دوري.
 - دراسة سلوك إطار معدني مستوى مقاوم للعزوم مزود لامركزيّاً بعنصر تربيط ممنوع من التحنيب تحت تأثير عدة هزات أرضية معأخذ أثر تغيير:-
 - موقع عناصر(BRB) ضمن الإطار المدروس.

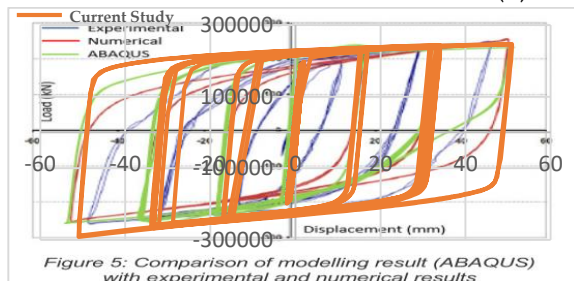


الشكل(2) بروتوكول التحميل المطبق[10]

2-4-السلوك الهيستيري للنموذج المدروس:

تمت مقارنة السلوك الهيستيري الناتج عن الدراسة التحليلية لهذه الدراسة مع السلوك الهيستيري الذي أوجده الباحث(Bahrami et al., 2020) تجريبياً كما هو مبين في

الشكل (3).



الشكل (3) الحلقة الهيستيرية الناتجة عن النموذج التحليلي والحلقة الهيستيرية الناتجة عن النموذج التجاري للدراسة المرجعية.

بالمقابل الذي أوجدناه والتجريبي للباحث(Bahrami et al., 2020) نلاحظ وجود تقارب في السلوك بين النموذج التحليلي والتجريبي كما هو مبين في الشكل (3)، حيث كان أكبر فرق نسبي بين الدراستين التحليلية والتجريبية بحدود 12.6% نتج هذا الفرق في القيم نتيجة نقص بارامترات تعريف مادة الفولاذ في الدراسة السابقة.

3-السلوك الديناميكي للإطار المعدني المزود لا مركزياً بعناصر تربيط ممنوعة من التحنّب:**3-1-توصيف النموذج والهزات المستخدمة:**

تم اعتماد إطار معدني مقاوم للعزوم 2D متعدد الطوابق بثلاث فتحات. مجاز الفتحة الواحدة 7.32m، ارتفاع الطابق

الجدول (1) خصائص المواد المستخدمة

MPa30F`c=	إجهاد الضغط للبيتون
MPa30000Ec=	معامل مرنة البيتون
18νconcret=0.	معامل بواسون للبيتون
γc=24kN/m³	الوزن الحجمي للبيتون
MPa297.5Fy=	حد السيلان لفولاذ النواة
MPa370Fy=	حد السيلان لفولاذ الغلاف
E _{st} =200000MPa	معامل مرنة الفولاذ
γ _{st} =78kN/m³	الوزن الحجمي للفولاذ
ν _{steel} =0.3	معامل بواسون الفولاذ

سلوك النواة الفولاذية كان باستخدام نموذج ثنائي الخطية

Bilinear Kinematic Hardening

وذلك من أجلأخذ التقسيمة التشوهية للفولاذ ما بعد مرحلة المرنة(جابر وأخرون،2022).

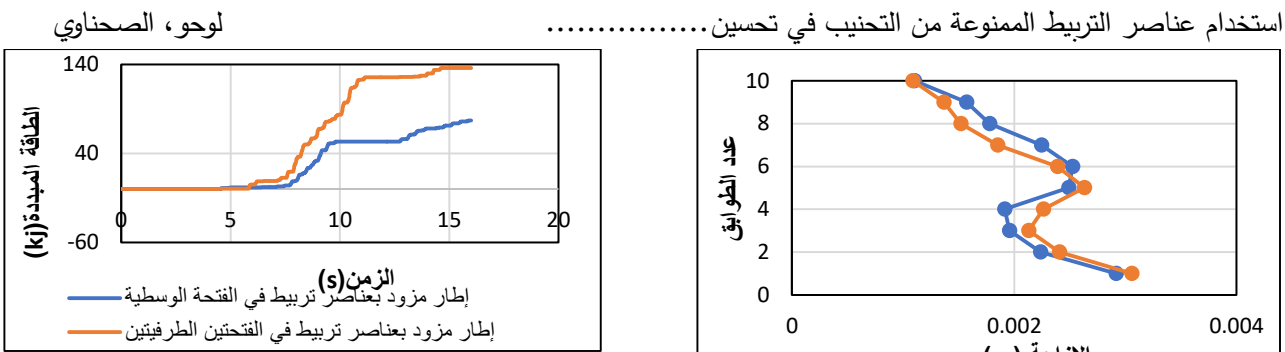
تم اعتبار الغلاف البetonوي من نظراً لأن المهمة الرئيسية له هي منع النواة من التحنّب فقط.

2-3-توصيف العناصر المستخدمة بالنموذج:

تم إنشاء نموذج تحليلي لعنصر التربيط الممنوع من التحنّب ABAQUS.19 (BRB) باستخدام برنامج العناصر المحدودة نفذت العناصر البetonية باستخدام عناصر خطية أما العناصر الفولاذية فنفذت باستخدام عناصر حجمية. تم الرابط بين النواة والغلاف البetonوي عن طريق تماس مع غلاف قاسي على محيط النواة لا يسمح بتحنيبها بعد تشهو جانبى صغير نسبياً.

تم تمثيل التفاعل ما بين النواة والغلاف القاسي عن طريق Interactions (Surface to surface) مع استخدام معامل احتكاك [10] 0.017 تم تطبيق بروتوكول تحميل كما هو موضح في الشكل (2).

<p>لوحو، الصناعي</p> <p>التحنيب في الفتحتين الطرفيتين المبين في الشكل (4-b) والمتمثلة في (التسارع الزلالي، الإزاحة الطابقية، القص القاعدي، الطاقة المبددة) وتمت مقارنة النتائج.</p> <p>(a)</p> <p>(b)</p> <p>الشكل(4) إطار معدني مزود لا مركيزاً بعناصر تربيط ممنوعة من التحنيب في الفتحة الوسطية (a) والفتحتين الطرفيتين (b).</p> <p>تم إيجاد أن التسارع الأعظمي في الطابق الأخير $1.53g$ في الإطار المزود لا مركيزاً بعناصر تربيط ممنوعة من التحنيب في الفتحتين الطرفيتين و $1.19g$ في الإطار المزود لا مركيزاً بعناصر تربيط ممنوعة من التحنيب في الفتحة الوسطية كما هو مبين في الشكل (5) أي انخفض بفرق نسبي 22% وبالنسبة لقيمة الإزاحة كانت القيمة الأعظمية $0.305cm$ في الإطار المزود لا مركيزاً بعناصر تربيط ممنوعة من التحنيب في الفتحتين الطرفيتين و $0.291cm$ في الإطار المزود لا مركيزاً بعناصر تربيط ممنوعة من التحنيب في الفتحة الوسطية كما هي مبينة الشكل (6) أي انخفضت بفرق نسبي 4.6%.</p> <p>الشكل(5) التسارع الزلالي للإطار ذو العشرة طوابق تحت تأثير هزة تاباس.</p>	<p>استخدام عناصر التربيط الممنوعة من التحنيب في تحسين الأرضي $5.49m$، وارتفاع الطابق المتكرر $3.66m$. مزود لا مركيزاً بعناصر تربيط ممنوعة من التحنيب تحت تأثير عدة هزات زلالية.</p> <p>تم استخدام عناصر تربيط ممنوعة من التحنيب بمساحة $(10*55)mm^2$. إجهاد الخصوع لفولاذ الجوازر والأعمدة $F_y=250 MPa$.</p> <p>تم نمذجة الإطار المعدني ودراسة السلوك الديناميكي معأخذ البارامترات التالية بعين الاعتبار:</p> <ol style="list-style-type: none"> 1. تغيير مكان وجود عنصر التربيط الممنوع من التحنيب باقتراح ثلاث توضيعات لعنصر التربيط في الإطار المعدني بارتفاع عشرة طوابق تحت تأثير ثلاث هزات زلالية. 2. تغيير ارتفاع الإطار المعدني المزود لا مركيزاً بعناصر تربيط ممنوعة من التحنيب بأخذ ثلاثة ارتفاعات مختلفة (10 – 13 – 16) طابق وذلك تحت تأثير ثلاث هزات زلالية ومقارنتها مع إطار معدني مزود لا مركيزاً بعناصر تربيط تقليدية تحت تأثير هزة كوشIRO. <p>تم استخدام هزات تاباس وكوجالي وكوشIRO بشدات مختلفة كما هو مبين في الجدول (3).</p> <p>الجدول (2) الهزات злазальная المطيبة</p> <table border="1" style="width: 100%; border-collapse: collapse;"> <thead> <tr> <th>Earthquake name</th> <th>Year</th> <th>Earthquake Magnitude</th> <th>PGA (g)</th> <th>دور الهز</th> </tr> </thead> <tbody> <tr> <td>tabas</td> <td>1878</td> <td>7.4</td> <td>0.32</td> <td>0.2s</td> </tr> <tr> <td>kocaeli</td> <td>1999</td> <td>7.5</td> <td>.310-</td> <td>0.38s</td> </tr> <tr> <td>kushiro</td> <td>1993</td> <td>7.6</td> <td>1.06</td> <td>0.32s</td> </tr> </tbody> </table> <p>3-2- تحديد مكان عنصر التربيط الممنوع من التحنيب:</p> <ul style="list-style-type: none"> ▪ لتحديد المكان الأنسب لتوضع عنصر التربيط الممنوع من التحنيب تمت بداية دراسة تغيير مكان وجود عنصر التربيط الممنوع من التحنيب في الفتحة الوسطية للإطار المعدني المزود لا مركيزاً بعناصر تربيط ممنوعة من التحنيب في الفتحة الوسطية للإطار المعدني المزود لا مركيزاً بعناصر تربيط ممنوعة من التحنيب تحت تأثير هزة تاباس. حيث تمت مقارنة الاستجابة الديناميكية للإطار المعدني المزود لا مركيزاً بعناصر تربيط ممنوعة من التحنيب في الفتحة الوسطية للإطار المعدني المزود لا مركيزاً بعناصر تربيط ممنوعة من التحنيب تحت تأثير هزة تاباس. حيث تمت مقارنة الاستجابة الديناميكية للإطار المعدني المزود لا مركيزاً بعناصر تربيط ممنوعة من التحنيب في الفتحة الوسطية للإطار المعدني المزود لا مركيزاً بعناصر تربيط ممنوعة من التحنيب تحت تأثير هزة تاباس. 	Earthquake name	Year	Earthquake Magnitude	PGA (g)	دور الهز	tabas	1878	7.4	0.32	0.2s	kocaeli	1999	7.5	.310-	0.38s	kushiro	1993	7.6	1.06	0.32s
Earthquake name	Year	Earthquake Magnitude	PGA (g)	دور الهز																	
tabas	1878	7.4	0.32	0.2s																	
kocaeli	1999	7.5	.310-	0.38s																	
kushiro	1993	7.6	1.06	0.32s																	

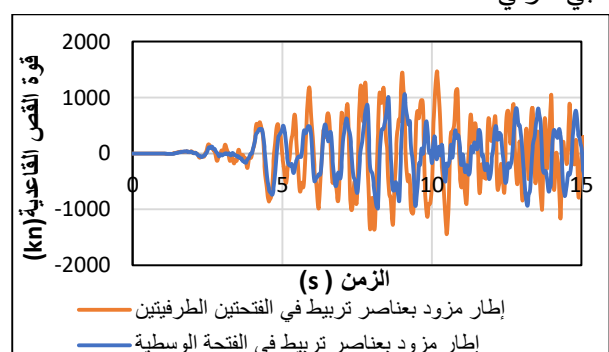
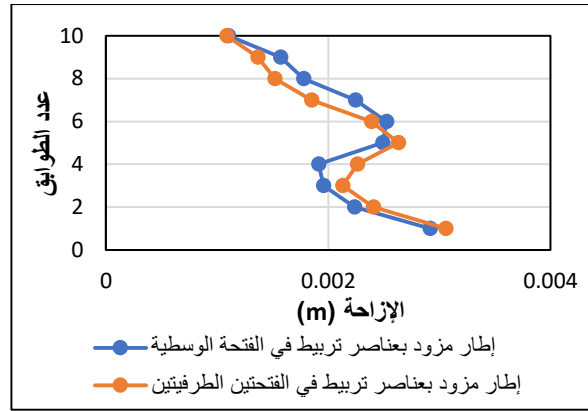


5-تغيير مكان وجود عناصر التثبيط الممنوعة من التحنّب: تم اعتماد ثلاثة توضيعات لعناصر التثبيط الممنوعة من التحنّب ضمن الفتحة الوسطية للإطار المعدني المكون من عشرة طوابق تحت تأثير ثلاثة هزات زلالية.

- التوضع الأول، تم وضع عناصر التثبيط الممنوعة من التحنّب على كامل ارتفاع الإطار.

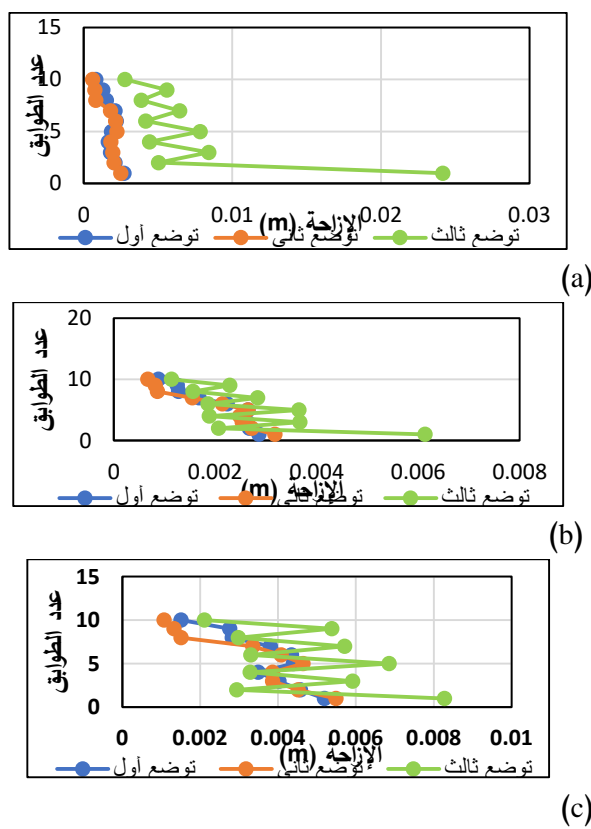
- التوضع الثاني تم وضع عناصر التثبيط الممنوعة من التحنّب للطوابق السبعة الأولى وعناصر تثبيط تقليدية للطوابق الثلاثة الأخيرة، حيث تم اختيار التوضع الثاني بناء على حساب الطاقة التخميدية للإطار المعدني المكون من عشرة طوابق التي كانت معروفة في الطوابق الثلاثة الأخيرة.
- التوضع الثالث تم وضع عناصر التثبيط الممنوعة من التحنّب وعناصر تثبيط تقليدية في الطوابق مثلثة.

تم إيجاد نتائج الاستجابة الزلالية للتوضيعات الثلاثة تحت تأثير الهزات الزلالية الثلاث (تاباس- كوجالي- كوشيراو)،



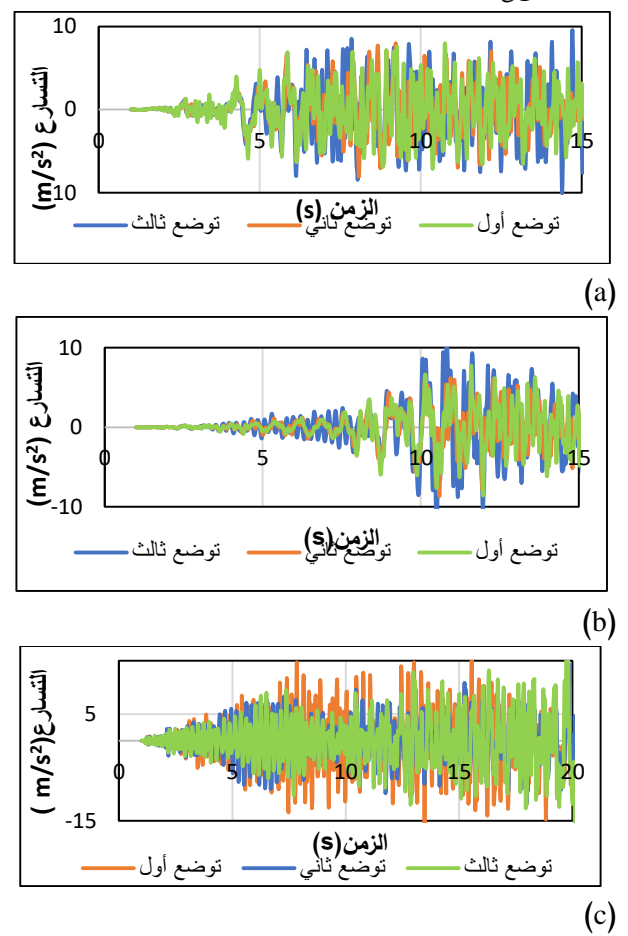
لوحو، الصناعي

أما بالنسبة للإزاحات الطابقية للتوضعات الثلاثة تحت تأثير الهزات الثلاث تم إظهارها في الشكل (10)، حيث يبين الشكل (10-a) الإزاحات الطابقية لكل من التوضعات الثلاثة تحت تأثير هزة تاباس حيث بلغت قيمة الإزاحة الطابقية الأعظمية في الطابق الأول 0.27cm في التوضع الأول، 0.25cm في التوضع الثاني، 2.4cm في التوضع الثالث، ويبين الشكل (10-b) الإزاحات الطابقية لكل من التوضعات الثلاثة تحت تأثير هزة كوجالي وعندأخذ القيمة الأعظمية بلغت قيمتها في التوضع الأول 0.28cm و 0.3cm في التوضع الثاني و 0.6cm في التوضع الثالث، ويبين الشكل (10-c) الإزاحات الطابقية لكل من التوضعات الثلاثة تحت تأثير هزة كوشIRO، وعندأخذ القيمة الأعظمية بلغت قيمتها 0.51cm في التوضع الأول و 0.55cm في التوضع الثاني و 0.82cm في التوضع الثالث.



الشكل (10) الإزاحات الطابقية تحت تأثير الهزات الثلاث تاباس(a)،
كوجالي(b)، كوشIRO(c).

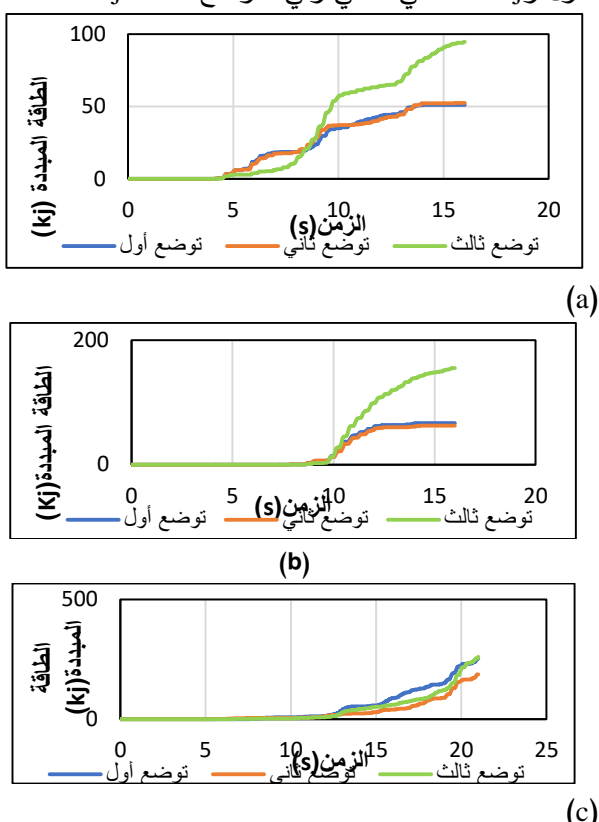
استخدام عناصر التربيط الممنوعة من التحنّب في تحسين
حيث تم إظهار التسارعاتزلالية في الشكل (9) للتوضعات
الثلاثة تحت تأثير الهزاتزلالية الثلاث المطبقة. يظهر
الشكل (a) أن القيمة الأعظمية للتسارعزلالي تحت
تأثير هزة تاباس بلغت قيمته $0.814g$ في التوضع الأول
و $0.821g$ في التوضع الثاني وكان في التوضع الثالث
 $1.02g$ ، ويظهر الشكل (b) أن القيمة الأعظمية للتسارع
زلالي تحت تأثير هزة كوجالي بلغت قيمته في التوضع
الأول $0.876g$ و $0.885g$ في التوضع الثاني وفي التوضع
الثالث $1.189g$ ويظهر الشكل (c) أن القيمة الأعظمية
للسارعزلالي تحت تأثير هزة كوشIRO بلغت قيمته $1.760g$
في التوضع الأول وفي التوضع الثاني $1.482g$ وفي التوضع
الثالث كان $2.394g$.



الشكل (9) التسارعزلالي تحت تأثير الهزات الثلاث تاباس(a)،
كوجالي(b)، كوشIRO(c).

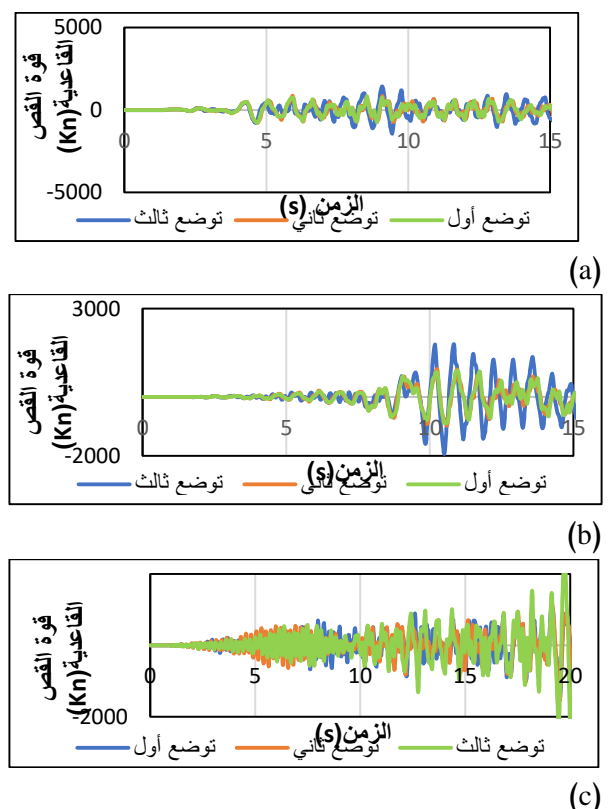
لوحو، الصناعي

بالانتقال للطاقة المبددة للتوضعات الثلاثة تحت تأثير الهزات الثلاث تم إظهارها في الشكل (12)، حيث يظهر الشكل (-a) الطاقة المبددة مع الزمن لكل من التوضعات الثلاثة تحت تأثير هزة تاباس وعندأخذ القيمة الأعظمية بلغت قيمتها 51Kj في التوضع الأول و52.4Kj في التوضع الثاني وفي التوضع الثالث 94.5Kj، ويبين الشكل (12-b) الطاقة المبددة اللينة مع الزمن لكل من التوضعات الثلاثة تحت تأثير كوجالي وعندأخذ القيمة الأعظمية بلغت قيمتها 62.7Kj في التوضع الأول و66.9Kj في التوضع الثاني وفي التوضع الثالث 155Kj، ويظهر الشكل (12-c) الطاقة المبددة اللينة مع الزمن لكل من التوضعات الثلاثة تحت تأثير هزة كوشIRO وعندأخذ القيمة الأعظمية بلغت قيمتها 252.4Kj في التوضع الأول و186.8Kj في التوضع الثاني وفي التوضع الثالث 260Kj.



الشكل (12) الطاقة المبددة اللينة للتوضعات الثلاثة تحت تأثير الهزات الثلاث تاباس(a)، كوجالي(b)، كوشIRO(c).

استخدام عناصر التربيط الممنوعة من التحنّب في تحسين وبالنسبة لقوى القص القاعدية للتوضعات الثلاثة تحت تأثير الهزات الثلاث تم إظهارها في الشكل (11)، حيث يظهر الشكل (11-a) قوى القص القاعدية لكل من التوضعات الثلاثة تحت تأثير هزة تاباس وعندأخذ القيمة الأعظمية بلغت قيمتها في التوضع الأول 869.5Kn، وفي التوضع الثاني 1442.6Kn، ويبين الشكل (11-b) قوى القص القاعدية لكل من التوضعات الثلاثة تحت تأثير هزة كوجالي وعندأخذ القيمة الأعظمية بلغت قيمتها 893.6Kn في التوضع الأول و976.2Kn في التوضع الثاني وفي التوضع الثالث كانت 1799Kn، ويظهر الشكل (11-c) قوى القص القاعدية تحت تأثير هزة كوشIRO وعندأخذ القيمة الأعظمية بلغت قيمتها 1465.6Kn في التوضع الأول و1568.4Kn في التوضع الثاني وفي التوضع الثالث كانت 2566.7Kn.



الشكل (11) قوى القص القاعدية للتوضعات الثلاثة تحت تأثير الهزات الثلاث تاباس(a)، كوجالي(b)، كوشIRO(c).

استخدام عناصر التربيط الممنوعة من التحنّب في تحسين
 الجدول(3) قيم الاستجابة الأعظمية للتوضعات الثلاثة الناتجة عن الهزات
 الثلاثة.

لوحو، الصناعي
 الطوابق الثلاثة الأخيرة لأن تبديد الطاقة في الطوابق الثلاثة
 الأخيرة كان معدوم.

الإطار ذو 13 طابق: تم استخدام عناصر تربيط ممنوعة من التحنّب في الطوابق العشرة الأولى وعناصر تربيط تقليدية في الطوابق الثلاثة الأخيرة لأن تبديد الطاقة في الطوابق الثلاثة الأخيرة كان معدوم.

الإطار ذو 16 طابق: تم استخدام عناصر تربيط ممنوعة من التحنّب في الطابق الإحد عشر الأولى وعناصر تربيط تقليدية في الطابق الخامسة الأخيرة، كان تبديد الطاقة في الطوابق الخامسة الأخيرة شبه معدوم مقارنة بالطوابق الأولى لذلك تم استخدام عناصر تربيط تقليدية في الطوابق الخامسة الأخيرة.

تم تعريض الإطارات السابقة ذات الارتفاع (10-13-16) طابق للهزات الثلاث المذكورة سابقاً تاباس وكوجالي وكوشIRO وكانت نتائج الاستجابة كما يلي:

حيث تم إظهار التسارعات الزلزالية للإطارات ذات الارتفاع (10-13-16) طابق تحت تأثير الهزات الثلاث في الشكل (13)، حيث يظهر الشكل (13-a) أن القيمة الأعظمية للتسرعات الزلزالية في الطابق الأخير للإطار ذو العשרה طوابق تحت تأثير الهزات الثلاث بلغت $0.821g$ وتحت تأثير هزة تاباس و $0.885g$ تحت تأثير هزة كوجالي وتحت تأثير هزة كوشIRO و $1.482g$ ويظهر الشكل (13-b) أن القيمة الأعظمية للتسرعات الزلزالية في الطابق الأخير للإطار ذو الثلاثة عشر طابق تحت تأثير الهزات الثلاث بلغت $0.814g$ تحت تأثير هزة تاباس $0.906g$ وتحت تأثير هزة كوجالي وتحت تأثير هزة كوشIRO و $1.674g$ ، ويظهر الشكل (13-c) أن القيمة الأعظمية للتسرعات الزلزالية في الطابق الأخير للإطار ذو الستة عشر طابق تحت تأثير الهزات الثلاث بلغت $0.779g$ تحت تأثير هزة تاباس و $0.725g$ تحت تأثير هزة كوجالي وتحت تأثير هزة كوشIRO و $1.641g$.

القيمة الأعظمية	توضع أول	توضع ثانٍ	توضع ثالث	فرق نسبي %
تسارع (m/s^2)	1.76	1.48	2.39	-36
إزاحة (cm)	0.51	0.55	0.82	-60.7
قص قاعدي (K_n)	1465	1568	-7	-75
طاقة مبددة (Kj)	252	186	260	-3

تمت إيجاد الفروق النسبية بالمقارنة مع التوضع الأول نلاحظ عدم فعالية التوضع الثالث حيث أعطى قيم أعظمية في جميع حالات التسارع والإزاحة والقص وطاقة المبذدة تحت تأثير الهزات الثلاث. سيتم اعتماد التوضع الثاني للإطار المؤلف من عشر طوابق عند تغيير ارتفاع الإطار المعدني، حيث كانت نتائجه معظمها أفضل مقارنة بالتوضع الأول تحت تأثير الهزات الثلاث بالإضافة لاقتصادية التوضع الثاني مقارنة بالتوضع الأول. وبمقارنة القيم الأعظمية للهزات الثلاث نلاحظ أن القيم الأعظمية للتوضعات الثلاثة كانت تحت تأثير هزة كوشIRO.

5-تغيير ارتفاع الإطار المعدني المزود بعناصر تربيط ممنوعة من التحنّب:

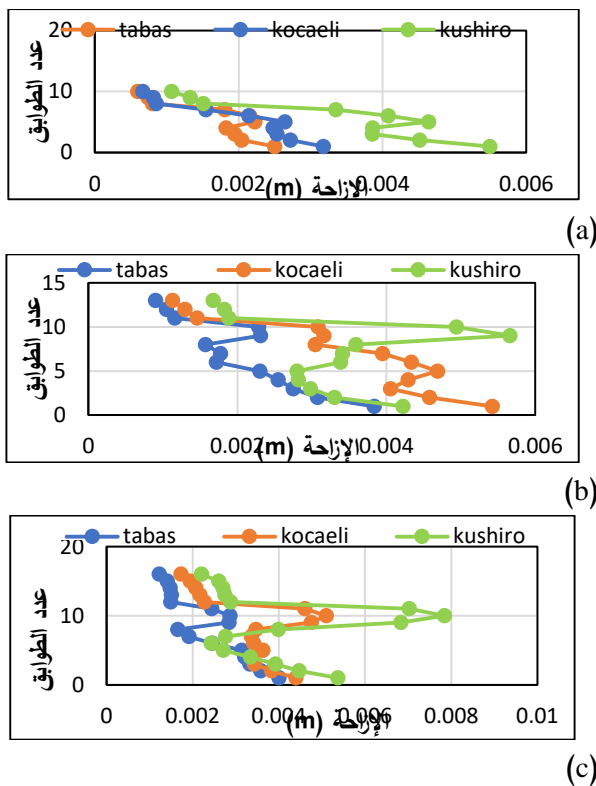
تم اعتماد ثلاثة ارتفاعات (10-13-16) طابق للإطار المعدني المزود لا مركزياً بعناصر تربيط ممنوعة من التحنّب وفق التوضع الثاني ودراسة سلوكه تحت تأثير ثلاث هزات زلزالية (تاباس، كوجالي، كوشIRO). ومن ثم تمت مقارنة سلوكه مع سلوك إطار معدني مزود لا مركزياً بعناصر تربيط تقليدية تحت تأثير هزة كوشIRO.

الإطار ذو 10 طوابق: تم استخدام عناصر تربيط ممنوعة من التحنّب في الطوابق السبعة الأولى وعناصر تربيط تقليدية في

استخدام عناصر التربيط الممنوعة من التحنيب في تحسين.....

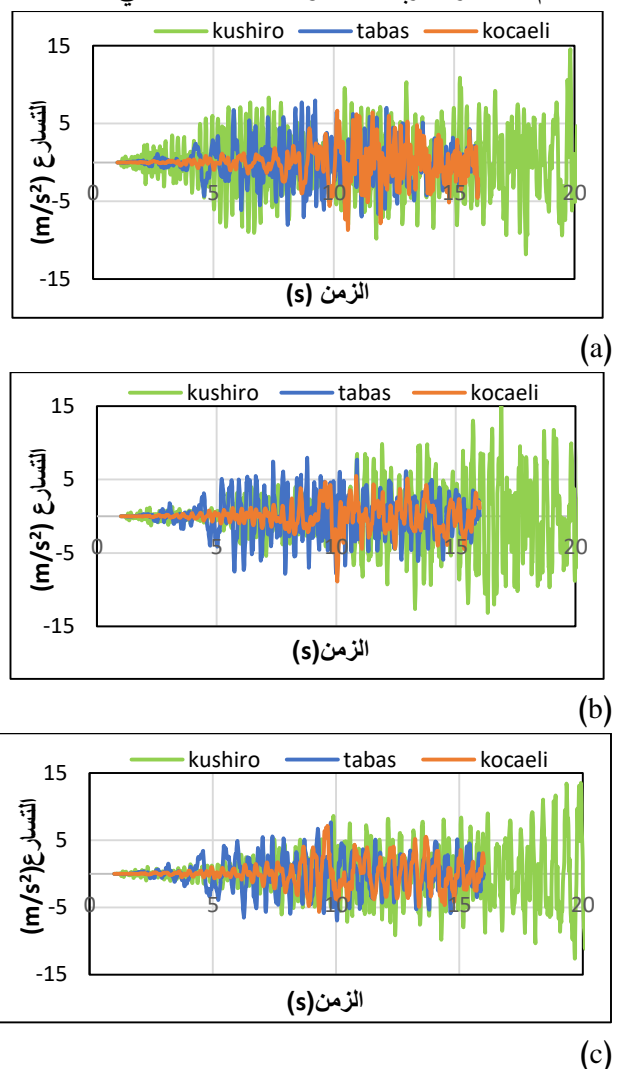
لوحو، الصناعي

الأعظمية تحت تأثير هزة تاباس 0.23cm وتحت تأثير هزة كوجالي 0.31cm وتحت تأثير هزة كوشIRO 0.56cm ويظهر الشكل (14-c) الإزاحات الطابقية للإطار ذو الستة عشر طابق تحت تأثير الهزات الثلاث حيث بلغت القيمة الأعظمية تحت تأثير هزة تاباس 0.28cm وتحت تأثير هزة كوجالي 0.51cm وتحت تأثير هزة كوشIRO 0.78cm .



الشكل (14) الإزاحات الطابقية للإطارات ذات الارتفاع (10-13-16) طابق تحت تأثير الهزات الثلاث (10-a)، (13-b)، (16-c).

بالنسبة لقوى القص القاعدية للإطارات ذات الارتفاع (10-13-16) طابق تحت تأثير الهزات الثلاث تم إظهارها في الشكل (15)، حيث يظهر الشكل (15-a) قوى القص القاعدية القاعدية للإطار ذو العشرة طوابق تحت تأثير الهزات الثلاث وعندأخذ القيمة الأعظمية بلغت 844Kn تحت تأثير هزة تاباس 976Kn وتحت تأثير هزة كوجالي وتحت تأثير هزة كوشIRO 1568Kn ، ويبيّن الشكل (15-b) قوى القص القاعدية للإطار ذو الثلاثة عشر طابق تحت تأثير الهزات الثلاث



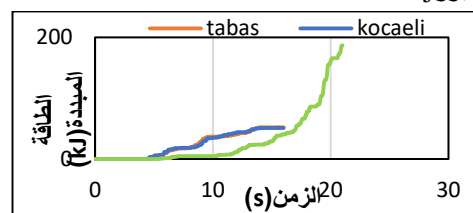
الشكل (16) التسارات الزلزالية للإطارات ذات الارتفاع (10-13-16) طابق تحت تأثير الهزات الثلاث (10-a)، (13-b)، (16-c).

بالنسبة للإزاحات الطابقية للإطارات ذات الارتفاع (10-13-16) طابق تحت تأثير الهزات الثلاث تم إظهارها في الشكل (14)، حيث يظهر الشكل (14-a) الإزاحات الطابقية للإطار ذو العشرة طوابق تحت تأثير الهزات الثلاث حيث بلغت القيمة الأعظمية تحت تأثير هزة تاباس 0.25cm وتحت تأثير هزة كوجالي 0.31cm وتحت تأثير هزة كوشIRO 0.55cm .

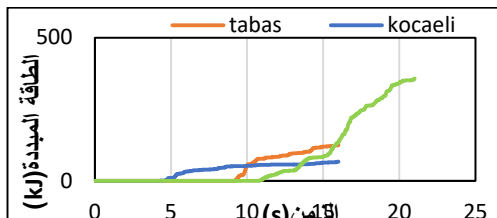
ويظهر الشكل (14-b) الإزاحات الطابقية للإطار ذو الثلاثة عشر طابق تحت تأثير الهزات الثلاث حيث بلغت القيمة

لوحو، الصناعي

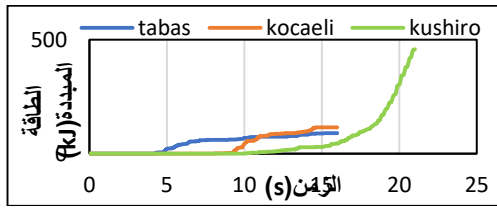
الثلاث وعندأخذ القيمة الأعظمية بلغت $J_{KJ} = 67.7$ تحت تأثير هزة تاباس و $J_{KJ} = 124.9$ تحت تأثير هزة كوجالي وتحت تأثير هزة كوشIRO $J_{KJ} = 357.7$ ، ويظهر الشكل (16-c) الطاقة المبددة مع الزمن للإطار ذو الستة عشر طابق تحت تأثير الهزات الثلاث وعندأخذ القيمة الأعظمية بلغت $J_{KJ} = 90.4$ تحت تأثير هزة تاباس و $J_{KJ} = 115.6$ تحت تأثير هزة كوجالي وتحت تأثير هزة كوشIRO $J_{KJ} = 457.8$.



(a)



(b)



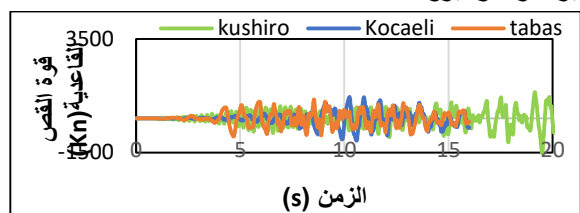
(c)

الشكل (16) الطاقة المبددة للإطارات ذات الارتفاع (10-13-16) طابق تحت تأثير الهزات الثلاث (a)، (b)، (c).

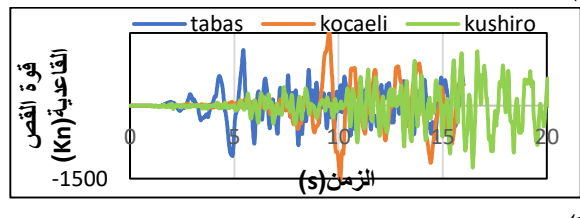
الجدول (4) قيم الاستجابة الأعظمية للإطار ذو الارتفاعات الثلاثة تحت تأثير الهزات الثلاث.

16	13	10	القيم الأعظمية
1.641	1.674	1.482	تسارع (m/s^2)
0.78	0.56	0.55	إزاحة (cm)
1514.1	1542.9	1568.4	قص قاعدي (kn)
457.8	357.7	186.8	طاقة مبددة (KJ)

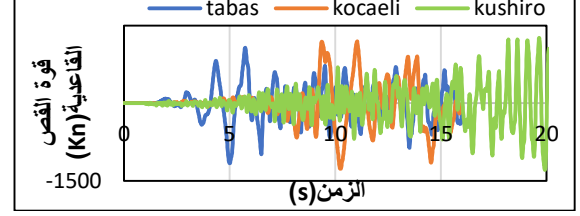
استخدام عناصر التربيط الممنوعة من التحنّب في تحسين
عندأخذ القيمة الأعظمية بلغت $1147.7 Kn$ تحت تأثير هزة تاباس، $1542.9 kn$ تحت تأثير هزة كوجالي، ويظهر الشكل (15-c) قوى القص القاعدية للإطار ذو الستة عشر طابق تحت تأثير الهزات الثلاث وعندأخذ القيمة الأعظمية بلغت $160.3 Kn$ تحت تأثير هزة تاباس، $12270 Kn$ تحت تأثير هزة كوجالي وتحت تأثير هزة كوشIRO $1514 Kn$.



(a)



(b)

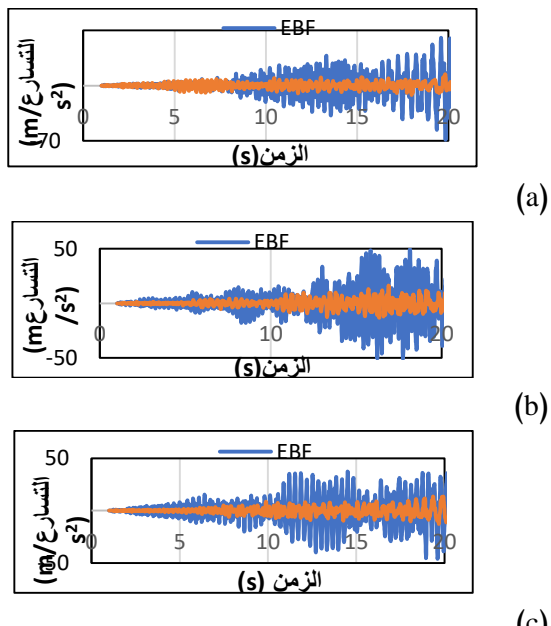


(c)

الشكل (15) قوى القص القاعدية للإطارات ذات الارتفاع (10-13-16) طابق تحت تأثير الهزات الثلاث (a)، (b)، (c).

بالانتقال للطاقة المبددة للإطارات ذات الارتفاع (10-13-16) طابق تحت تأثير الهزات الثلاث التي تم إظهارها في الشكل (16)، حيث يظهر الشكل (16-a) الطاقة المبددة للإطار ذو الارتفاع (10-13-16) تحت تأثير هزة تاباس بلغت $J_{KJ} = 52.4$ ، تحت تأثير هزة كوجالي بلغت $J_{KJ} = 66.9$ ، تحت تأثير هزة كوشIRO بلغت $J_{KJ} = 186.8$ ، ويظهر الشكل (16-b) الطاقة اللدنية المبددة للإطار ذو الارتفاع (10-13-16) تحت تأثير هزة تاباس بلغت $J_{KJ} = 1514.1$ ، تحت تأثير هزة كوجالي بلغت $J_{KJ} = 1542.9$ ، تحت تأثير هزة كوشIRO بلغت $J_{KJ} = 1568.4$ ، ويظهر الشكل (16-c) الطاقة اللدنية المبددة للإطار ذو الارتفاع (10-13-16) تحت تأثير هزة تاباس بلغت $J_{KJ} = 457.8$ ، تحت تأثير هزة كوجالي بلغت $J_{KJ} = 357.7$ ، تحت تأثير هزة كوشIRO بلغت $J_{KJ} = 186.8$.

لوحو، الصناعي
 BRBFES، ويظهر الشكل (b-17) أن القيمة الأعظمية للتسارات الزلزالية في الطابق الأخير للإطارات بارتفاع 13 طابق 1.675g الإطار BRBF و 5.083g الإطار EBF أي انخفضت حوالي 67% في حال إطار BRBF، ويظهر الشكل (c-17) أن القيمة الأعظمية للتسارات الزلزالية في الطابق الأخير للإطارات بارتفاع 16 طابق 1.641g الإطار BRBF و 4.775g الإطار EBF أي انخفضت حوالي 65.6% في حال إطار BRBF.



شكل (17) التسارات الزلزالية للإطارات الثلاثة تحت تأثير هزة كوشورو ذات الارتفاع 10 (a)، 13 (b)، 16 (c) طابق.

بالنسبة للإزاحات الطابقية للإطارات ذات الارتفاع (10-13-16) طابق تحت تأثير هزة كوشورو تم إظهارها في الشكل (18)، حيث يظهر الشكل (18-a) الإزاحات الطابقية للإطارات بارتفاع 10 طوابق حيث بلغت القيمة الأعظمية حوالي 50% في حال إطار BRBF، ويظهر الشكل (18-b) الإزاحات الطابقية للإطارات بارتفاع 13 طابق حيث بلغت القيمة الأعظمية 0.5cm لإطار BRBF و 0.75cm لإطار EBF أي انخفضت حوالي 33% في حال إطار

استخدام عناصر التربيط الممنوعة من التحنّب في تحسين.....

6-المقارنة بين إطارات (BRBFES) مع إطارات (EBFS) تحت تأثير هزة كوشورو.

تم مقارنة الإطارات المزودة لا مركزياً بعناصر تربيط ممنوعة من التحنّب (BRBFES) مع إطارات مزودة لا مركزياً بعناصر تربيط تقليدية (EBFS) ذات الارتفاعات (10-13-16) طابق تحت تأثير هزة كوشورو والتي أعطت القيم الأعظمية للاستجابة وذلك لتحقيق تحسين سلوك الإطارات ذات الارتفاعات المختلفة.

الإطار ذو 10 طوابق: تم مقارنة الإطار المزود بعناصر تربيط ممنوعة من التحنّب في الطوابق السبعة الأولى وعناصر تربيط تقليدية في الطوابق الثلاثة الأخيرة (BRBFES) وهو التوضع ذو السلوك الأفضل مع إطار مزود بعناصر تربيط تقليدية على كامل ارتفاعه (EBF).

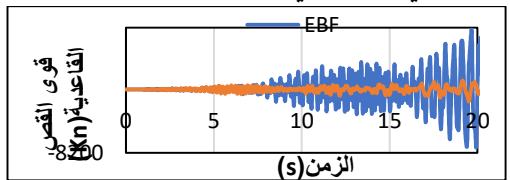
الإطار ذو 13 طابق: تمت مقارنة الإطار المزود بعناصر تربيط ممنوعة من التحنّب في الطوابق العشرة الأولى وعناصر تربيط تقليدية في الطوابق الثلاثة الأخيرة (BRBFES) مع إطار مزود بعناصر تربيط تقليدية على كامل ارتفاعه (EBF).

الإطار ذو 16 طوابق: تمت مقارنة الإطار المزود بعناصر تربيط ممنوعة من التحنّب في الطوابق الإحدى عشر الأولى وعناصر تربيط تقليدية في الطوابق الخمسة الأخيرة (BRBFES) مع إطار مزود بعناصر تربيط تقليدية على كامل ارتفاعه (EBF).

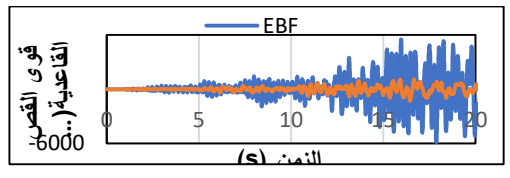
تم تعريض الإطارات ذات الارتفاع (10-13-16) طابق السابقة لهزة كوشورو كانت نتائج الاستجابة كما يلي: تم إظهار التسارات الزلزالية للإطارات ذات الارتفاع (10-13-16) طابق تحت تأثير هزة كوشورو في الشكل (17)، حيث يظهر الشكل (17-a) أن القيمة الأعظمية للتسارات الزلزالية في الطابق الأخير للإطارات بارتفاع 10 طوابق تحت تأثير هزة كوشورو 7.013g لإطار BRBF و 1.482g لإطار EBF أي انخفضت حوالي 78.8% في حال إطار

لوحو، الصناعي

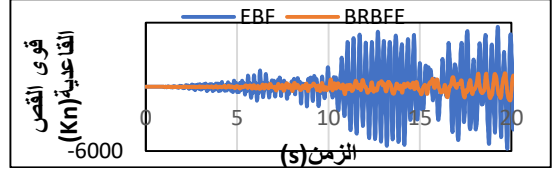
طابق وعندأخذ القيمة الأعظمية بلغت قيمتها أي EBF 6480.9Kn، BRBFE 1514.1Kn لإطار أي انخفضت حوالي 76.6% في حال إطار BRBFE.



(a)



(b)



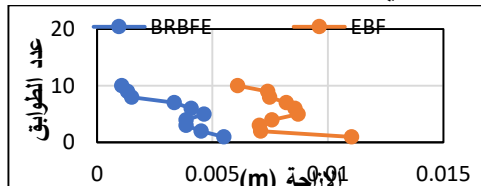
(c)

الشكل (19) قوى القص القاعدية للإطارات الثلاثة تحت تأثير هزة كوشIRO ذات الارتفاع 10 (a)، 13 (b)، 16 (c) طابق.

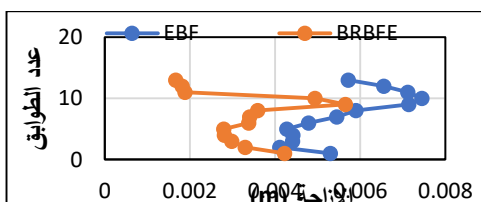
بالانتقال للطاقة المبددة اللدننة للإطارات ذات الارتفاع (10-13-16) طابق تحت تأثير هزة كوشIRO المبينة في الشكل (20)، حيث يظهر الشكل (20-a) الطاقة المبددة اللدننة للإطارات بارتفاع 10 طوابق بلغت القيمة الأعظمية للإطارات بارتفاع 16 طوابق حيث زادت EBF 357.7Kj لإطار BRBFE و 112.2Kj لإطار BRBFE أي زادت حوالي 68.6% في حال إطار BRBFE، ويظهر الشكل (20-b) الطاقة المبددة اللدننة للإطارات بارتفاع 13 طابق حيث بلغت القيمة الأعظمية لـ EBF 186.8KJ وإطار BRBFE 229.9Kj، EBF 457.8Kj لإطار BRBFE، أي زادت حوالي 49.7% في حال إطار BRBFE.

استخدام عناصر التربيط الممنوعة من التحنّب في تحسين.....

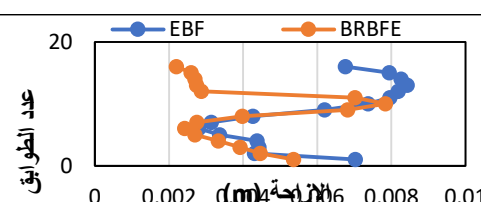
BRBFE، ويظهر الشكل (c-18) الإزاحات الطابقية للإطارات بارتفاع 16 طابق حيث بلغت القيمة الأعظمية 0.27cm لإطار EBF و 0.84cm لإطار BRBFE أي انخفضت حوالي 67.8% في حال إطار BRBFE.



(a)



(b)



(c)

الشكل (18) الإزاحات الطابقية للإطارات الثلاثة تحت تأثير هزة كوشIRO ذات الارتفاع 10 (a)، 13 (b)، 16 (c) طابق.

بالنسبة لقوى القص القاعدية للإطارات ذات الارتفاع (10-13-16) طابق تحت تأثير هزة كوشIRO المبينة في الشكل (19)، حيث يظهر الشكل (19-a) قوى القص القاعدية للإطارات بارتفاع 10 طوابق وعندأخذ القيمة الأعظمية بلغت EBF 7744.5Kn، BRBF 1568.4Kn لإطار BRBFE أي انخفضت حوالي 79.7% في حال إطار BRBFE، ويظهر الشكل (19-b) قوى القص القاعدية للإطارات بارتفاع 13 طابق وعندأخذ القيمة الأعظمية بلغت قيمتها طابق حوالي 78% في حال إطار BRBFE، ويظهر الشكل (19-c) قوى القص القاعدية للإطارات بارتفاع 16 طابق حيث زادت EBF 1276.4Kn لإطار BRBFE، أي انخفضت حوالي 78% في حال إطار BRBFE.

لوحو، الصناعي
في إطار BRBF كان تبديد الطاقة محصور في عناصر BRB.

كما أن دور الإطار ذو العشرة طوابق المزود بعناصر تربيط تقليدية كان 0.48 s وهو في مجال التسارعات الأعظمية لزلزال كوشير وبالتالي تجاوب هذا الإطار مع زلزال كوشير.

7- الاستنتاجات:

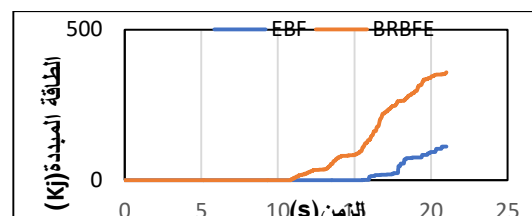
- اعتماد التوضع الثاني عند تغيير ارتفاع الإطار المعدني، حيث كانت نتائجه معاذتها أفضل مقارنة بباقي التوضيعات بالإضافة لاقتصادية هذا التوضع في الحالة المدروسة.
- نقصت قيمة التسارع الأعظمي في الطابق الأخير والإزاحات الطابقية وقوى القص القاعدية بينما زادت كمية الطاقة المبددة في حالة إطارات BRBFES ذات الارتفاع 10-13-16 طابق مقارنة بإطارات EBFS تحت تأثير هزة كوشير.
- فعالية استخدام عناصر التربيط الممنوعة من التحنيب في إطارات متوسطة الارتفاع.

التمويل: هذا البحث ممول من جامعة دمشق وفق رقم التمويل (501100020595).

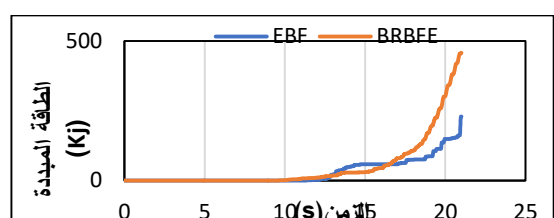
استخدام عناصر التربيط الممنوعة من التحنيب في تحسين.....



(a)



(b)



(c)

الشكل (20) الطاقة المبددة للإطارات الثلاثة تحت تأثير هزة كوشير ذات الارتفاع 10 (a)، 13 (b)، 16 (c) طابق.

نلاحظ زيادة نسبة تبديد الطاقة في إطار EBF مقارنة بإطار BRBF بسبب عدم وجود عناصر التربيط الممنوعة من التحنيب التي تحصر الأضرار والتشوهات فيها فأدى ذلك إلى ضرر كبير بالجوانز المرتبطة بعناصر التربيط التقليدية بينما

References:

- [1] المنيني، لؤي. (2015) الأداء الزلالي للإطارات المعدنية المزودة بعنصر تربيط ممنوع من التحنّب. درجة الماجستير. الهندسة الإنسانية الزلالية. المعهد العالي للبحوث والدراسات الزلالية. جامعة دمشق.
- [2] الملحم، آلاء. (2020) دراسة تحليلية لوصلات اتصال مختلفة من عنصر تربيط ممنوع من التحنّب في إطار فولاذي تحت تأثير حمل دوري. درجة الماجستير. الهندسة الإنسانية الزلالية. المعهد العالي للبحوث والدراسات الزلالية. جامعة دمشق.
- [3] مصطفى جابر & د. م. أمجد الحلواني. (2022). سلوك صفائح القص الفولاذية المختلطة الجدارية تحت تأثير تحمل دوري. مجلة جامعة دمشق للعلوم الهندسية.(38)3.
- [4] Mirtaheri, M., Gheidi, A., Zandi, A.P., Alanjari, P., Rahmani Samani, H. (2011). Experimental optimization studies on steel core lengths in buckling restrained braces. Journal of Constructional Steel Research, vol. 67, 1244-1253.
- [5] Lin, S. L & MacRae, G .A. , Wu, A.C., Lin, P.C. &Tsai, K.C., (2012). Development and Implementation of Buckling Restrained Braces in Taiwan, National Taiwan University, Taipei, Taiwan.
- [6] Prinz, G.S and Richards,P.w.(2012). Seismic Performance of Buckling-Restrained Braced Frames with Eccentric Configurations. Journal of Structural Engineering, 138(3), 345-353.
- [7] (2015). Comparative Analysis of Buckling-Restrained Braced Frames in Eccentric Configuration (BRBFs) and Eccentrically Braced Frames (EBFs), University of Arkansas, ayetteville
- [8] Bahrami, A., Yavari, M. (2019). Hysteretic assessment of steel-concrete composite shear walls. International Journal of Recent Technology and Engineering, vol. 8, no. 2, 5640-5645. 20.
- [9] Bahrami, A and Heidari, M. (2020). Evaluation of structural response of composite steel-concrete eccentrically buckling restrained braced frames, Journal of Applied Engineering Science, 18(4): 591-600.
- [10] Shete, P. S., Madhekar, S. N., & Ghowsi, A. F. (2022, December). Finite Element Parametric Studies on Buckling Restrained Brace. In ASPS Conference Proceedings (Vol. 1, No. 3, pp. 645-651).
- [11] stovar, N., & Hejazi, F. (2023). Buckling-Restrained Bracing System with Ultra-High-Performance Fiber Concrete. Applied Sciences, 13(14), 825.